

02;06.2

©1993

К ВОПРОСУ ОБ ЭФФЕКТИВНОСТИ ОБРАЗОВАНИЯ ВАКАНСИОННЫХ ЦЕНТРОВ В n -Si ПРИ ОБЛУЧЕНИИ α -ЧАСТИЦАМИ

Л.С.Берман, А.М.Иванов, Н.Б.Строкан

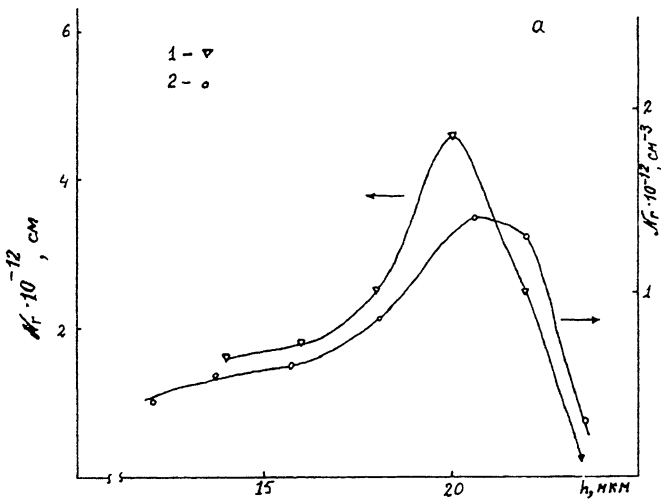
Ранее в работе [1] нами изучалось распределение по глубине радиационных дефектов вакансационной природы в Si при облучении α -частицами. Использовался n -Si, выращенный бестигельной зонной плавкой с удельным сопротивлением 200 Ом·см. Профили дефектов определялись для конечной стадии пробега α -частиц методом емкостной спектроскопии по двум основным наблюдавшимся радиационным дефектам: A-центра и дивакансии.

Полученные после дозы $9 \cdot 10^9 \text{ см}^{-2}$ (энергия $E_\alpha = 4 \text{ Мэв}$, интенсивность источника $5 \cdot 10^6 \text{ см}^{-2}\text{s}^{-1}$) результаты приведены на рис. 1, a, заимствованном из [1].

В настоящем сообщении будет проведена оценка эффективности введения вакансационных центров, исходя из кинематики образования дефектов при α -облучении. Будем следовать идеологии программы TRIM [2] и определим число вакансий, возникающих в треке α -частицы $E_\alpha = 4 \text{ Мэв}$, задавшись порогом дефектообразования 40 эВ согласно последним данным [3]. Алгоритм программы анализирует торможение в Si каждой α -частицы индивидуально, что соответствует интенсивности и дозе облучения в работе [1].

При торможении α -частицы основная часть ее энергии передается электронам. В результате возникает каскадный процесс ионизаций с рождением пар электрон-дырка. Вакансии образуются в результате упругого рассеяния частиц на атомах Si. Эти акты немногочисленны (≈ 35 на частицу) и, хотя в силу соотношения масс атому Si в акте может быть передано до $0.44 E_\alpha$, в среднем каскаде сообщается всего $\approx 9 \text{ кэВ}$, то есть 0.2% первоначальной энергии α -частицы. Эта энергия также расходуется на образование вакансий в последующих столкновениях Si-Si, давая в общее число вакансий вклад, сопоставимый с образованными непосредственно α -частицами.

Далее течение рассеяния зависит от E_α как E_α^{-2} , что обусловливает генерацию пар Френкеля преимущественно в конце пробега. На рис.1,б представлено распределение числа образуемых вакансий в конечной стадии пробега



δ

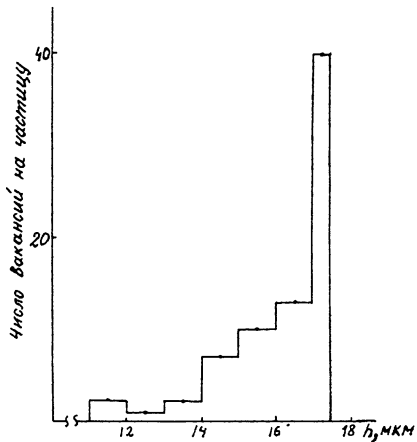


Рис. 1. а — профиль концентрации радиационных дефектов: 1 — А-центра, 2 — диваканси; б — распределение по глубине первичных вакансий в конце пробега α -частицы.

α -частицы с $E_\alpha = 4$ МэВ. Наблюдаются резкий подъем концентрации и локализация первоначально созданных вакансий на длине ~ 1.5 мкм. Согласно установившимся представлениям компоненты созданных "близких" пар Френкеля рекомбинируют, а в случае "далеко" разнесенных пар мигрируют по кристаллу, подвергаясь рекомбинации либо захвату с образованием комплексов. Последние дают в запрещенной зоне характерные уровни, формируемые в эксперименте.

В нашем случае наблюдаемое на рис. 1,а распределение центров отличается от расчетного (рис.1,б) размытием на $\simeq 4$ мкм и наличием слева "плеча" с амплитудой 0.4 max. Мы склонны видеть причину размытия в проявлении страгглинга-разброса пробегов α -частиц, который усугублялся условиями облучения, которое производилось на воздухе, и расстояние между источником и образцом составляло 0.7 см, что нарушило монохроматичность источника. Если учесть это обстоятельство, то различие форм рис.1,а и б не будет существенным (по крайней мере в качественной трактовке).

Сопоставим теперь количество вакансий, созданных первично и проявившихся в образовании A-центров. Из рис. 1 находим, что площадь под максимумом соответствует $2 \cdot 10^9$ центров/см². Из рис. 1, б следует, что на последних 4.5 мкм в каскаде столкновений создается 70 вакансий, и для дозы $9 \cdot 10^9$ см⁻² приводит к числу $6.3 \cdot 10^{11}$ вак/см², что в 315 раз превышает количество A-центров.

Очевидно, что причина расхождения связана с рекомбинацией пар Френкеля. Известно [4,5], что в рекомбинации следует различать случаи, когда созданные вакансы (V) и межузельный атом (I) нейтральны либо претерпели перезарядку. Соответственно критическое расстояние между парами ρ_{kp} (меньше которого рекомбинация неизбежна) составляет ~ 10 и 35 Å. Примем во внимание, что при торможении α -частицы в Si образование V и I происходит в окружении интенсивной ионизации, идущей одновременно. Это создает предпосылки перезадядки V и I , что позволяет взять в рассмотрение значение $\rho_{kp} = 35$ Å.

Для удаления (пробега) выбитого атома Si от вакансию его энергия должна быть более 1 кэВ, и весьма важно проследить за распределением атомов отдачи по энергии. Из теории рассеяния известно, что форма распределения соответствует преимущественной передаче малых энергий. На рис. 2 приведено полученное в ходе машинного моделирования распределение числа актов от переданной α -частицей атомам Si энергии в столкновениях, приведших к образованиям вакансий.

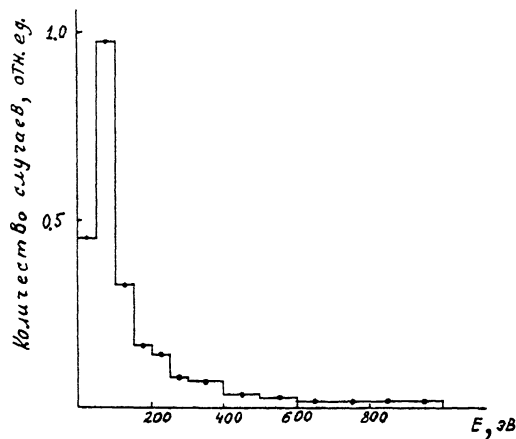


Рис. 2. Гистограмма передачи энергии α -частицей атомам Si в упругих столкновениях (случаи с передачей энергии > 1 кэВ описаны в тексте).

Распределение содержит лишь небольшую долю событий с передачей энергии более 1 кэВ (а именно в 2.1% от общего числа столкновений передается от 1 до 2 кэВ, в 1.5%-2-3 кэВ, в 0.4% — более 3 кэВ). Таким образом, из общего числа актов рассеяния α -частицы только 4% продуктивны для образования пар Френкеля, разделенных более чем на 35 Å.

Возникает также вопрос, сколько таких пар будет образовано при торможении первично выбитых атомов (ПВА) Si. Создать более одной “выживающей” пары $V-I$ могут атомы отдачи с энергией > 2 кэВ, что соответствует примерно половине от числа “продуктивных” атомов. Оказывается, что и картина торможения атомов отдачи подобна приведенной на рис. 2, т.е. лишь малая доля от общего числа столкновений приводит к передаче более 1 кэВ. Так, при энергии атомов кремния 10 кэВ (что моделирует случай передачи α -частицей в одном акте рассеяния значения средней энергии, передаваемой во всех 35 столкновениях) эта доля составляет 12%. В итоге основное число пар $V-I$, разнесенных на $\rho > 35$ Å, создается в актах рассеяния α -частиц, а вклад ПВА Si оказывается сугубо меньшим, хотя по общему числу порожденных вакансий роли атомов Si и непосредственно α -частиц соотносятся как 1.5 : 1.

Результатом приведенной выше оценки явилось установление доли нерекомбинировавших пар $V-I$ $K \simeq 1.6 \cdot 10^{-2}$, что приводит к расхождению между количеством созданных “свободных” V и A -центров до $\simeq 5$ раз. Если учесть, что

часть вакансий образует дивакансию (количественные данные представлены на рис. 1, а), то рассчитанная величина образовавшихся вакансий будет превосходить измеренное DLTS методом количество вакансационных дефектов в 3 раза.¹

Заметим, что подобная оценка для рекомбинации "близких" пар *VI* при отсутствии перезарядки ($\rho_{\text{кр}} \simeq 10 \text{ \AA}$) привела бы к значению $K \simeq 1.8 \cdot 10^{-1}$, т.е. на порядок большей величине.

Полученный в работе результат позволяет, исходя из кинематики образования пар Френкеля, заключить, что большая часть их рекомбинирует путем возвращения выбитых атомов Si в "свои" узлы. При этом механизм захвата согласуется с моделью кулоновского взаимодействия компонент пары и с численным значением критического радиуса $\simeq 30 \text{ \AA}$.

Список литературы

- [1] Берман Л.С., Маляренко А.М., Ременюк А.Д., Суханов В.Л., Толстобров М.Г. // ФТП. 1988. Т. 22. В. 5. С. 844–848.
- [2] Ion implantation. Science and Technology / Ed. J.F. Ziegler. Acad. Press Inc., 1984. P. 635.
- [3] Берман Л.С., Витовский Н.А., Ломасов В.Н., Ткаченко В.Н. // ФТП. 1990. Т. 24. В. 10. С. 1816–1822.
- [4] Абдулсаттаров А.Г., Емцов В.В., Машовец Т.В. // ФТП. 1989. Т. 23. В. 12, С. 2221–2223.
- [5] Емцов В.В., Машовец Т.В., Махнович В.В. // ФТП. 1992. Т. 26. В. 1. С. 22–24.

Физико-технический
институт им. А.Ф. Иоффе РАН
Санкт-Петербург

Поступило в Редакцию
21 июля 1993 г.

¹ В принципе это значение следует корректировать с учетом возможного стока пар Френкеля на дефекты структуры, а также образования электрически неактивных центров.